

查询TCA940供应商

捷多邦，专业PCB打样工厂

# THOMSON-EFCIS

## Integrated Circuits

24小时加急出货

TCA940  
TCA940 E

### AF AMPLIFIER AMPLIFICATEUR BF

The TCA 940.E is a monolithic integrated circuit designed for class B audio amplification, with up to 10 W output power.

It provides all the advantages of integrated AF amplifiers: constant idling current and voltage, high efficiency, low distortion; furthermore, an internal circuit protects it against overheating, supply overvoltage and load short-circuit.

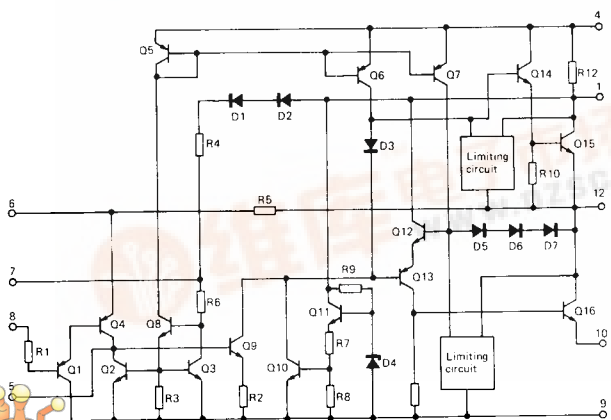
The TCA 940, E is pin-to-pin compatible with TBA 810 AS.

Le TCA 940, E est un circuit monolithique destiné à l'amplification BF classe B; sa puissance de sortie peut atteindre 10 W.

Il présente tous les avantages des amplificateurs BF intégrés : stabilité du courant et de la tension de repos, rendement élevé, faible distorsion; en outre, un dispositif intérieur le protège contre l'échauffement excessif, les surtensions d'alimentation et le court-circuit de la charge.

Le TCA 940, E est interchangeable broche à broche avec le TBA 810 AS.

### BLOCK DIAGRAM SCHEMA ELECTRIQUE



### AF AMPLIFIER AMPLIFICATEUR BF

#### CASES / BOITIERS



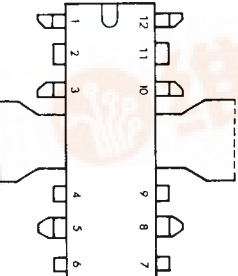
CB-155  
TCA 940



CB-109  
TCA 940 E

#### PLASTIC PACKAGES BOITIERS PLASTIQUE

### PIN CONFIGURATION BROCHAGE



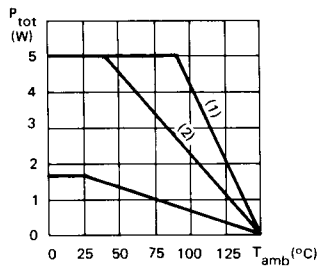
- 1 V<sub>CC</sub>
- 2 Not to use
- 3 Not to use
- 4 Bootstrap
- 5 Compensation
- 6 Feed-back network
- 7 Preamplifier decoupling
- 8 Input
- 9 Substrate and preamplifier ground
- 10 Second stage ground
- 11 Not to use
- 12 Output
- Tab must be grounded

L'alétoie doit être réunie à la masse

NT7741 L9

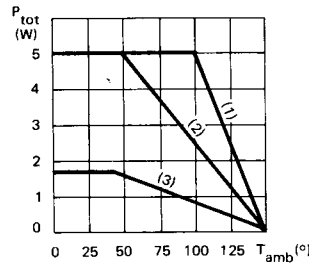
## TCA940, TCA940 E

TCA 940



Maximum power dissipation  
Dissipation de puissance maximale

TCA 940 E



## LIMITING VALUES VALEURS LIMITES ABSOLUES

Supply voltage <i>Tension d'alimentation</i>	V <sub>CC</sub>	24	V
Peak output current (non repetitive) <i>Courant crête en sortie non répétitif</i>	I <sub>O</sub>	3,5	A
Peak output current (repetitive) <i>Courant crête en sortie répétitif</i>	I <sub>O</sub>	3	A
Junction temperature <i>Température de jonction</i>	T <sub>j</sub>	-40 +150	°C °C
Storage temperature <i>Température de stockage</i>	T <sub>stg</sub>	-40 +150	°C °C

**ELECTRICAL CHARACTERISTICS**  
**CARACTÉRISTIQUES ÉLECTRIQUES**
 $T_{amb} = 25^\circ\text{C}$ 

(Note 1)

(Unless otherwise stated)  
(Sauf indications contraires)

	Test conditions <i>Conditions de mesure</i>			Min.	Typ.	Max.	
Supply voltage <i>Tension d'alimentation</i>		$V_{CC}$		6	24		V
Quiescent output voltage (pin 12) <i>Tension de repos (broche 12)</i>	$V_{CC} = 18\text{ V}$	$V_O$		8,2	9	9,8	V
Quiescent current <i>Courant de repos</i>	$V_{CC} = 18\text{ V}$	$I_{CC}$		20	42		mA
Bias current (pin 8) <i>Courant d'entrée (broche 8)</i>	$V_{CC} = 18\text{ V}$	$I_B$		0,5	3		$\mu\text{A}$
Output power <i>Puissance de sortie</i>	$d = 10\%$ $R_L = 4\ \Omega$ $f = 1\text{ kHz}$ $V_{CC} = 20\text{ V}$	$P_O$		10			W
	$d = 10\%$ $R_L = 4\ \Omega$ $f = 1\text{ kHz}$ $V_{CC} = 18\text{ V}$	$P_O$		7	9		W
	$d = 10\%$ $R_L = 4\ \Omega$ $f = 1\text{ kHz}$ $V_{CC} = 16\text{ V}$	$P_O$			7		W
	$d = 10\%$ $R_L = 8\ \Omega$ $f = 1\text{ kHz}$ $V_{CC} = 20\text{ V}$	$P_O$			6,5		W
	$d = 10\%$ $R_L = 8\ \Omega$ $f = 1\text{ kHz}$ $V_{CC} = 18\text{ V}$	$P_O$			5		W
Voltage for input saturation (peak) <i>Tension saturant l'entrée (crête)</i>		$V_I$		250			mV
Sensitivity <i>Sensibilité</i>	$P_O = 9\text{ W}$ $V_{CC} = 18\text{ V}$ $R_L = 4\ \Omega$ $f = 1\text{ kHz}$ $R_f = 56\ \Omega$	S			90		mV
Input impedance (pin 8) <i>Impédance d'entrée (broche 8)</i>		$Z_I$			5		$M\Omega$

Note 1 : The characteristics above were obtained using the circuit shown in figure 1  
*Mesuré dans les conditions de la figure 1*

**TCA940, TCA940 E**
**ELECTRICAL CHARACTERISTICS**  
**CARACTÉRISTIQUES ELECTRIQUES**
**T<sub>amb</sub> = 25°C**

(Unless otherwise stated)  
(Sauf indications contraires)

	Test conditions Conditions de mesure			Min.	Typ.	Max.	
Frequency response (-3 dB) <i>Bande passante (-3 dB)</i>	V <sub>CC</sub> = 18 V C <sub>3</sub> = 1000 pF	B		40 - 20 000			Hz
Distortion <i>Distorsion</i>	V <sub>CC</sub> = 18 V P <sub>O</sub> = 50 mW + 5 W R <sub>L</sub> = 4 Ω R <sub>f</sub> = 56 Ω f = 1 kHz	d			0,3		%
Voltage gain (open loop) <i>Gain de tension en boucle ouverte</i>	V <sub>CC</sub> = 18 V R <sub>L</sub> = 4 Ω f = 1 kHz	A <sub>V</sub>			75		dB
Voltage gain (closed loop) <i>Gain de tension en boucle fermée</i>	V <sub>CC</sub> = 18 V R <sub>L</sub> = 4 Ω R <sub>f</sub> = 56 Ω f = 1 kHz	A <sub>V</sub>		34	37	40	dB
Input noise voltage <i>Tension de bruit à l'entrée</i>	V <sub>CC</sub> = 18 V B(-3 dB) = 40 - 20 000 Hz	V <sub>n</sub>			3		µV
Input noise current <i>Courant de bruit à l'entrée</i>	V <sub>CC</sub> = 18 V B (-3 dB) = 40 - 20 000 Hz	I <sub>n</sub>			0,15		nA
Efficiency <i>Rendement</i>	V <sub>CC</sub> = 18 V P <sub>O</sub> = 9 W R <sub>L</sub> = 4 Ω f = 1 kHz	η			65		%
Supply voltage rejection <i>Réjection de l'ondulation d'alimentation</i>	V <sub>CC</sub> = 18 V R <sub>L</sub> = 4 Ω f <sub>ripple</sub> = 100 Hz	SVR			43		dB

**THERMAL CHARACTERISTICS**  
**CARACTÉRISTIQUES THERMIQUES**

Junction-case thermal resistance <i>Résistance thermique (jonction-boîtier)</i>		R <sub>th(j-c)</sub>		10	°C/W
Junction-ambient thermal resistance <i>Résistance thermique (jonction-ambiente)</i>		R <sub>th(j-a)</sub>		80	°C/W

**ELECTRICAL CHARACTERISTICS**  
**CARACTÉRISTIQUES ÉLECTRIQUES**
 $T_{amb} = 25^\circ\text{C}$ 

(Note 1)

(Unless otherwise stated)  
(Sauf indications contraires)

	Test conditions Conditions de mesure			Min.	Typ.	Max.	
Supply voltage <i>Tension d'alimentation</i>		$V_{CC}$		6	24		V
Quiescent output voltage (pin 12) <i>Tension de repos (broche 12)</i>	$V_{CC} = 18\text{ V}$	$V_O$		8,2	9	9,8	V
Quiescent current (pin 1) <i>Courant de repos (broche 1)</i>	$V_{CC} = 18\text{ V}$	$I_{CC}$		20	42		mA
Bias current (pin 8) <i>Courant d'entrée (broche 8)</i>	$V_{CC} = 18\text{ V}$	$I_B$		0,5	3		$\mu\text{A}$
Output power <i>Puissance de sortie</i>	$d = 10\%$ $R_L = 8\Omega$ $f = 1\text{ kHz}$ $V_{CC} = 20\text{ V}$	$P_O$			6,5		W
	$d = 10\%$ $R_L = 8\Omega$ $f = 1\text{ kHz}$ $V_{CC} = 18\text{ V}$	$P_O$		5	5,4		W
Voltage for input saturation (peak) <i>Tension saturant l'entrée (crête)</i>		$V_I$		250			mV
Sensitivity <i>Sensibilité</i>	$P_O = 5,4\text{ W}$ $V_{CC} = 18\text{ V}$ $R_L = 8\Omega$ $f = 1\text{ kHz}$ $R_f = 56\Omega$	S			90		mV
Input impedance (pin 8) <i>Impédance d'entrée (broche 8)</i>		$Z_I$			5		$M\Omega$
Frequency response (-3 dB) <i>Bandé passante (-3 dB)</i>	$V_{CC} = 18\text{ V}$ $C_3 = 1000\text{ pF}$	B		40 - 20 000			Hz

Note 1 : The characteristics above were obtained using the circuit shown in figure 1  
*Mesuré dans les conditions de la Figure 1*

## TCA940, TCA940 E

ELECTRICAL CHARACTERISTICS  
CARACTÉRISTIQUES ELECTRIQUES $T_{amb} = 25^\circ C$ (Unless otherwise stated)  
(Sauf indications contraires)

	Test conditions Conditions de mesure			Min.	Typ.	Max.	
Distortion <i>Distorsion</i>	$V_{CC} = 18 V$ $P_O = 50 mW \rightarrow 3,5 W$ $R_L = 8 \Omega$ $R_f = 56 \Omega$ $f = 1 kHz$	d			0,2		%
Voltage gain (open loop) <i>Gain de tension en boucle ouverte</i>	$V_{CC} = 18 V$ $R_L = 8 \Omega$ $f = 1 kHz$	$A_V$			75		dB
Voltage gain (closed loop) <i>Gain de tension en boucle fermée</i>	$V_{CC} = 18 V$ $R_L = 8 \Omega$ $R_f = 56 \Omega$ $f = 1 kHz$	$A_V$		34	37	40	dB
Input noise voltage <i>Tension de bruit à l'entrée</i>	$V_{CC} = 18 V$ $B(-3 dB) = 40 - 20 000 Hz$	$V_n$			3		$\mu V$
Input noise current <i>Courant de bruit à l'entrée</i>	$V_{CC} = 18 V$ $B(-3 dB) = 40 - 20 000 Hz$	$I_n$			0,15		nA
Efficiency <i>Rendement</i>	$V_{CC} = 18 V$ $P_O = 5,4 W$ $R_L = 8 \Omega$ $f = 1 kHz$	$\eta$			70		%
Supply voltage rejection <i>Réjection de l'ondulation d'alimentation</i>	$V_{CC} = 18 V$ $R_L = 8 \Omega$ $f_{ripple} = 100 Hz$	SVR			43		dB

THERMAL CHARACTERISTICS  
CARACTÉRISTIQUES THERMIQUES

Junction-case thermal resistance <i>Résistance thermique (jonction-boîtier)</i>		$R_{th(j-c)}$		12	$^\circ C/W$
Junction-ambient thermal resistance <i>Résistance thermique (jonction-ambiante)</i>		$R_{th(j-a)}$		70*	$^\circ C/W$

\* Tabs soldered to printed circuit with minimized copper area  
Ailettes soudées au circuit imprimé avec une surface de cuivre réduite

**MEASUREMENT AND APPLICATION DIAGRAM**  
**SCHEMA D'APPLICATION ET DE MESURE**

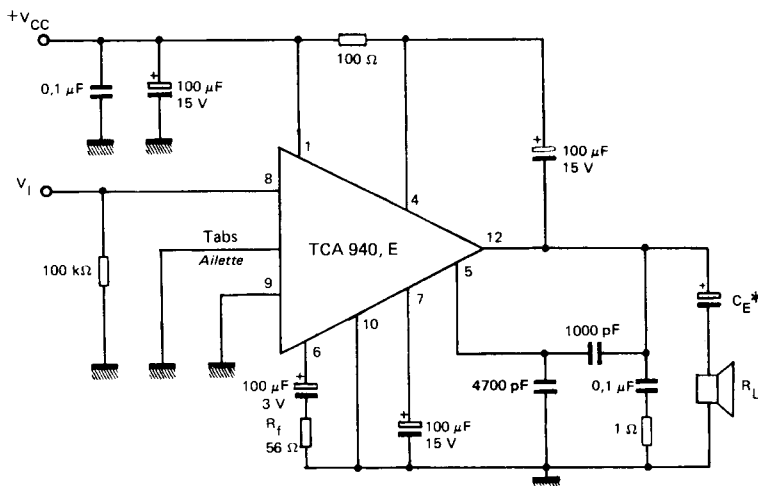


Figure 1

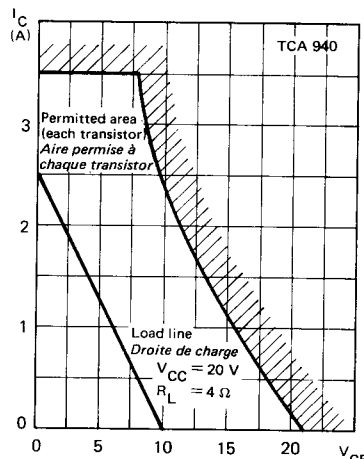
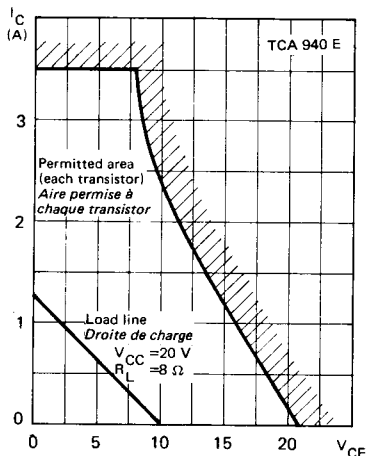
\* $C_E = 500 \mu F$  -- 15 volts pour  $R_L = 8 \Omega$   
 $C_E = 1000 \mu F$  -- 15 volts pour  $R_L = 4 \Omega$

## TCA940, TCA940 E

### OVERLOAD AND OVERVOLTAGE PROTECTION PROTECTION CONTRE LES SURCHARGES ET LES SURTENSIONS

Each power transistor is protected by a special, entirely integrated circuit which prevents it from working in dangerous conditions. The permitted area will not shrink with increased junction temperature.

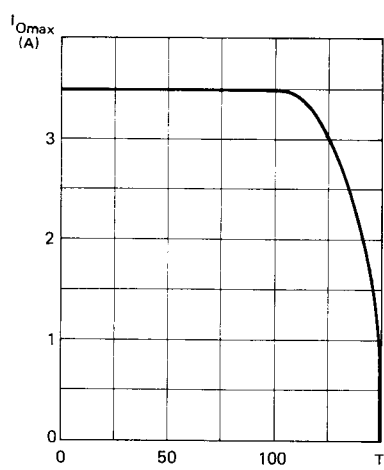
*Chaque transistor de puissance est protégé par un circuit spécial, entièrement intégré, qui l'empêche de fonctionner dans des conditions dangereuses. L'aire permise ne retrécit pas quand la température de jonction augmente.*

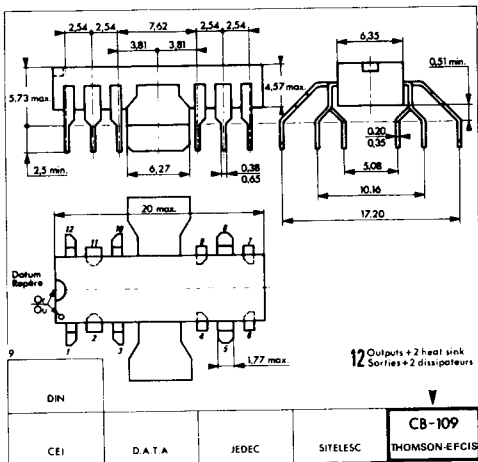


### THERMAL PROTECTION SECURITE THERMIQUE

When the die is overheated, available output current progressively falls down to 0.

*Quand la pastille intégrée s'échauffe trop, le courant disponible en sortie tombe progressivement à 0.*

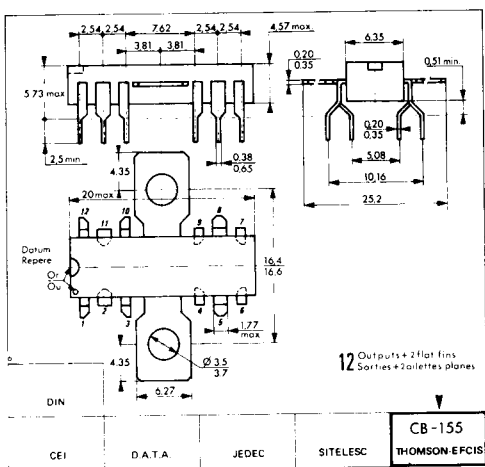




CASE / BOITIER CB-109



PLASTIC PACKAGE  
BOITIER PLASTIQUE



PLASTIC PACKAGE  
BOITIER PLASTIQUE

